

(71)

溶銑粒に巻込まれたスラグ粒の表面積の評価

固液試料から見た高炉反応 (Ⅲ)

東大生研 ○李 海 淳 館 充

1 緒言：高炉溶解帯における SiO_2 の還元機構はまだ明らかでない。著者等は稼動中試験高炉の溶解帯から採取した試料調査により溶落した溶銑粒中には径 $10 \sim 100 \mu$ 範囲におよぶ無数のスラグを巻込んでいることをみとめた。したがつて鉄への Si 移行量を評価するにあたりメタルースラグ反応に着目するなら、この混入スラグの影響を無視することはできないものと考えられる。そこで著者等らはこのスラグ量を把握するため平面的測定結果を確率統計的に処理し、立体量を算出した。

また Si 移行への影響も検討したのでその結果を報告する。

2 方法：溶解体と炉床でのメタルースラグ反応は次の各段階に分けることができよう。即ち 1) 炉床におけるメタルースラグ反応。2) 溶銑の炉床スラグ層通過時の反応。3) 完全分離にいたるまでのメタルー混入スラグの反応。これ以外にも coke と溶銑粒の衝突による反応への影響も考えられる。

混入スラグについてはその表面積を求めなければならぬが化学的方法では困難である。そこで溶銑粒断面の顕微鏡観察からスラグの粒子数を求めそれを次式¹⁾ に適用することから立体量を算出した。

$$(N_V)_J = \frac{(N_A)_{ij}}{P_{ij}} \cdot \frac{1}{D_j} \quad (1)$$

(1) 式の N_A は溶銑粒の単位断面積中のスラグ粒子切断面数、 N_V は単位体積あたりのスラグ粒子数で、 P_{ij} は径 D_j のスラグ粒子観察面上 D_i で切断される確率である。

$(N_A)_{ij}$ 、 P_{ij} 、 D_j が求まれば $(N_V)_J$ が求まる。 $(N_A)_{ij}$ は測定スラグ粒子を各粒径に分類し、その個数を $(N_A)_1$ 、 $(N_A)_2$ 、 $(N_A)_3$ 、 $(N_A)_4$ 、 $(N_A)_5$ とする

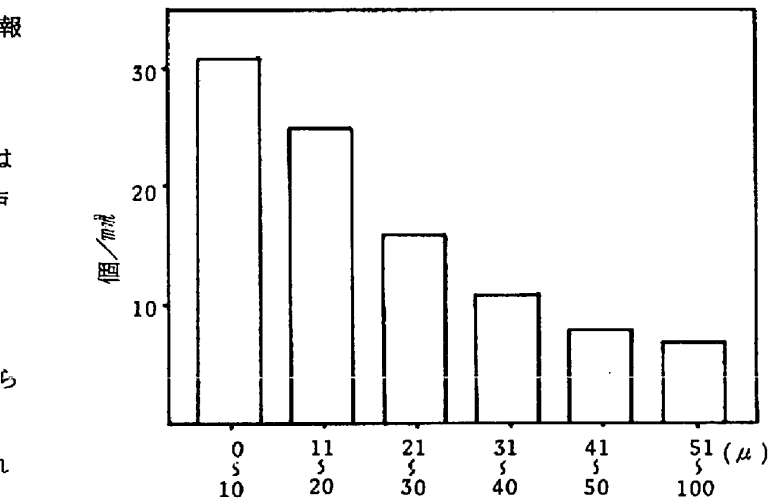


Fig. 1 巣込スラグの粒径と分布の関係

$$\begin{aligned} (N_A)_5 &= (N_A)_{55} \\ (N_A)_4 &= (N_A)_{44} + (N_A)_{45} \\ (N_A)_3 &= (N_A)_{33} + (N_A)_{35} + (N_A)_{34} \\ (N_A)_2 &= (N_A)_{22} + (N_A)_{25} + (N_A)_{24} + (N_A)_{23} \\ (N_A)_1 &= (N_A)_{11} + (N_A)_{15} + (N_A)_{14} + (N_A)_{13} + (N_A)_{12} \end{aligned} \quad (2)$$

項目 \ 粒径	D_6	D_5	D_4	D_3	D_2	D_1
$N_V (\text{個}/\text{mm}^3)$	117	256.3	326.5	550	1414	5600
$S_V (\text{cm}^2)$	1.3455	1.0595	0.8190	0.7020	0.6500	0.2860

Table 1 $(N_V)_J$ と $(S_V)_J$ の計算値

式によつて求まる。

3 結果と考察：Fig. 1 は羽口近傍レベルの溶銑粒の断面観察によつて測定した混入スラグ粒の平均個数が多い溶銑粒の例である。これによつて P_{ij} 、 $(N_A)_{ij}$ を求めて単位 mm^3 の $(N_V)_J$ と粒径 5 mm の溶銑粒に巻込んだスラグの表面積 $(S_V)_J$ を求めたのが Table 1 である。この結果混入スラグ粒子の占める全表面積は溶銑粒のそれに比べ 6 倍となり、また巻込みスラグの少ないものでも溶銑粒のそれと同程度となつた。

¹⁾ T. DeHoff, F. N. Rhines Quantitative Microscopy (1968)